СССР

ОТРАСЛЕВОЙ СТАНДАРТ

АРМАТУРА ТРУБОПРОВОДНАЯ. КЛАПАНЫ ЗАПОРНЫЕ. ФОРМА И РАЗМЕРЫ ПРОТОЧНОЙ ЧАСТИ ЛИТЫХ КОРПУСОВ

ОСТ 26-07- 2043 -81

gost.e-ecolog.ru

УТВЕРЖДАЮ

Заместитель руководителя

организации п/я Г-4668

А.В.Плейкин

"14" декабря 1981 г.

УДК 621.646.98 Группа Г18

О Т Р А С Л Е В О Й С Т А Н Д А Р Т

АРМАТУРА ТРУБОПРОВОДНАЯ. КЛАПАНЫ ЗАПОРНЫЕ. ФОРМА И РАЗМЕРЫ ПРОТОЧНОЙ ЧАСТИ ЛИТЫХ КОРПУСОВ

ОСТ 26-07-2043-81

Взамен РТМ 26-07-207-76

ОКСТУ 3742

Письмом организации от "14" декабря 1981 г. № 11-10-4/1650 срок действия установлен с "1" января 1983 г. до "1" января 1988 г.

Несоблюдение стандарта преследуется по закону.

I. Настоящий стандарт распространяется на запорные и обратные подъемные клапаны стальные проходные на давление Ру I,6, 2,5 и 4,0 МПа (I6, 25, 40 кгс/см^2), Ду от 25 до 200, сильфонные и сальниковые с любым видом уплотнения в затворе.

Издание официальное ГР 8243417 от 30.03.82 Перепечатка воспрещена

★

без направления в сецле, с патрубками, расположенными на одной оси, применяемые в технологических схемах для различных сред с любыми температурами.

2. Настоящий стандарт устанавливает форму и размеры проточной части литых корпусов со строительной длиной по ГОСТ 3326-~~69~~ 86 и диаметром сецла равным условному проходу, а также коэффициенты ~~гидравлического~~ сопротивления корпусов и зависимости коэффициентов гидравлического сопротивления от относительного хода золотника для клапанов в сборе.

3. Настоящий стандарт следует применять при новом проектировании и модернизации.

4. Проточная часть корпусов приведена на рисунке . . .

5. Основные размеры проточной части корпусов должны соответствовать указанным на рисунке и в табл. I.

6. Коэффициенты ~~гидравлического~~ сопротивления корпусов приведены в табл. 2.

Таблица 2

Ду, мм	25	32	40	50	65	80	I00	I25	I50	200
ζ под золотник	5,5	5,9	5,5	5,I	5,8	6,2	6,4	6,2	6,I	6,0

7. Для сведения в приложении (черт. I, 2, 3) приведены графики зависимостей коэффициентов ~~гидравлического~~ сопротивления от относительного хода золотника для клапанов в сборе $\zeta = f(h/D_y)$. Эти зависимости справецливы только для случаев протекания рабочей среды в области квадратичного сопротивления (в области авто-

Проточная часть корпусов

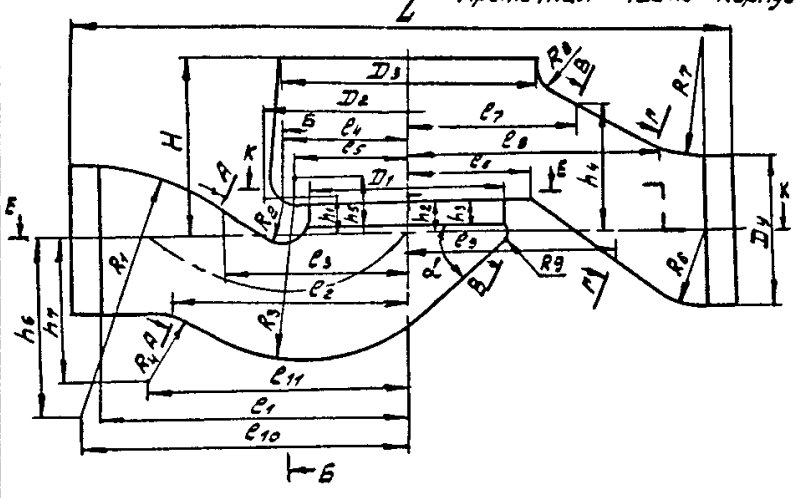

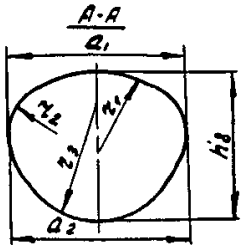

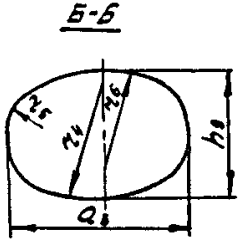

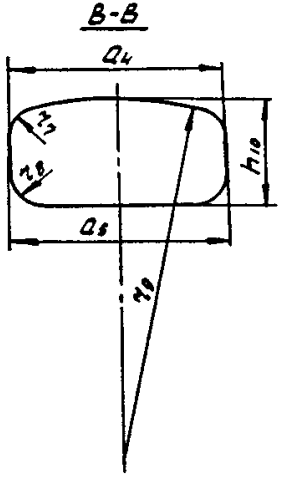

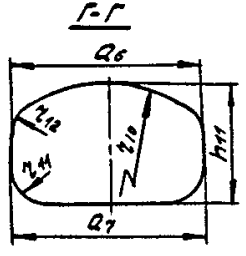

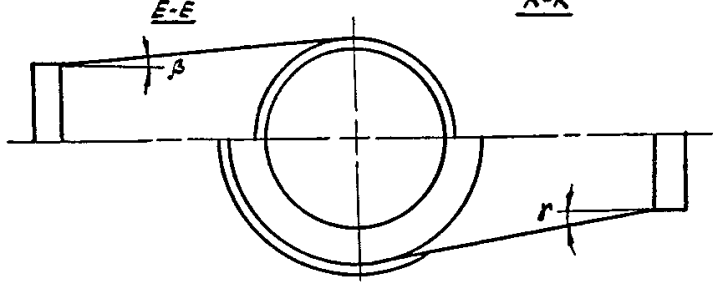

ОСТ 26-07-2043-81

Таблица 1

Размеры проточной части корпусов

мм

D_y	L	H	α	β	γ	D_1	D_2	D_3	l_1	l_2	l_3	l_4	l_5	l_6	l_7	l_8	l_9	l_{10}	l_{11}	R_1	R_2	R_3	R_4	R_5	R_6	R_7	R_8	R_9	h_1	h_2	h_3	h_4	h_5	h_6	h_7	h_8	h_9	h_{10}	h_{11}	r_1	r_2	r_3	r_4	r_5	r_6	r_7	r_8	r_9	r_{10}	r_{11}	r_{12}	Q_1	Q_2	Q_3	Q_4	Q_5	Q_6	Q_7
25	160	50	45°		6°	25	46	40	60	23	30	18	18	19	26	23	30	—	—	∞	7	25	∞	5	12,5	12,5	8	3	9	13	10	23	7	—	—	23	18	14	20	2	8	13	15	5	40	4	5	100	100	7	9	28	26	30	35	36	30	32
32	180	55			8°	32	58	50	70	53	44	23	27	23	27	53	44	110	71	200	9	38	100		16	16	5	5	10	15	10	31	15	110	115	28	25	17	23	31	11	18	19		44			115	115	9	12	35	34	36	43	44	36	38
40	200	60		2°	6°	40	70	52	80	76	30	24	26	28	33	76	30	120	86	220	9	36	200	6	20	20	10	4	12	14	10	37	8	125	220	38	30	21	33	25	13	21	22	6	29	5	6	140	140	14	16	43	41	44	53	54	44	48
50	230	65			7°	50	82	73	95	75	63	30	35	33	40	75	63	125	97	186	16	60	170		25	25	12		22	15	11	42	15	158	195	44	37	27	39	65	16	26	28		96	6		170	170	15	19	53	52	55	67	72	55	58
65	290	75		2°30'	6°	65	100	90	125	105	82	40	45	45	54	105	82	161	127	238		63	180		32,5	32,5			15	16		54	16	195	212	59	49	40	53	52	21	33	35		75	10	10			22	25	69	67	72	79	81	69	73
80	310	90				80	115	105	135	110	85	45	52	50	65	110	85	167	130	203		71	130		40	40			16	18	13	65	14	168	170	72	60	49	64	73	22	41	43		104			220	220	26	30	84	82	87	93	96	83	89
100	350	105		5°		100	135	125	155	130	98	60	55	60	72	130	98	202	147	210	12	83	177		50	50	15	6	11	21	18	72	16	153	227	82	66	53	77	74	25	51	54	8	91	15	15	240	240	31	37	104	102	107	113	115	104	109
125	400	105		2°		125	170	155	180	150	105	74	85	73	86	150	105	216	204	173	15	113	110	8	62,5	62,5			16	22		85	18	107	171	109	95	69	91	113	27	69	66		136			255	255		44	139	127	132	141	143	130	137
150	440	130			4°	150	196	180	220	185	135	80	91	86	102	185	135	255	243	256	12	122	230		75	75	20	8	17	23	17	102	13	173	305	135	114	80	116	146	33	77	80	10	157			340	340	41	60	156	152	160	166	168	155	161
200	600	150		1°		200	252	235	260	225	150	111	125	114	139	237	150	320	255	328	18	178	140	10	100	100	40	10	22	27	20	154	47	136	236	158	133	110	141	185	36	102	106	12	222	20	20	400	400	41	64	203	204	212	219	217	205	212

Примечание. Размеры H^* и D_3^* даны ориентировочно и уточняются при проектировании

модельности), то есть при числах Рейнольдса равных или больших 2×10^4 ($Re \geq 2 \times 10^4$) и при числах Маха равных 0,3 ÷ 0,7 ($M = 0,3 \div 0,7$).

Руководитель предприятия п/я Г-4745 Г.И.Косых

Главный инженер М.Г.Сарайлов

Главный инженер предприятия п/я А-7899 О.Н.Шпаков

Заместитель главного инженера Ю.И.Тарасьев

Заведующий отделом I6I М.И.Власов

Заведующий отделом I53 -
- руководитель СКПНКА В.Н.Воронов

Заместитель заведующего отделом I53 Е.Г.Пинаева

Руководитель темы -
заведующий сектором отдела I53 И.Г.Чистехина

Ответственный исполнитель -
старший инженер отдела I53 Н.Е.Берова

СОГЛАСОВАНО

Старший представитель заказчика I580
Заместитель руководителя
организации п/я А-3398 А.А.Зак
"16" декабря I98Iг.

Руководитель организации
п/я А-7326 Р.П.Окользин
А.М.Васильев
"16" XII I98Iг.

04.12.81.

Приложение
обязательное

График зависимостей коэффициентов гидравлического сопротивления от относительного хода золотника для клапанов в сборе Dy 25, 32, 40, 50

$$\zeta = f\left(\frac{h}{D_y}\right)$$

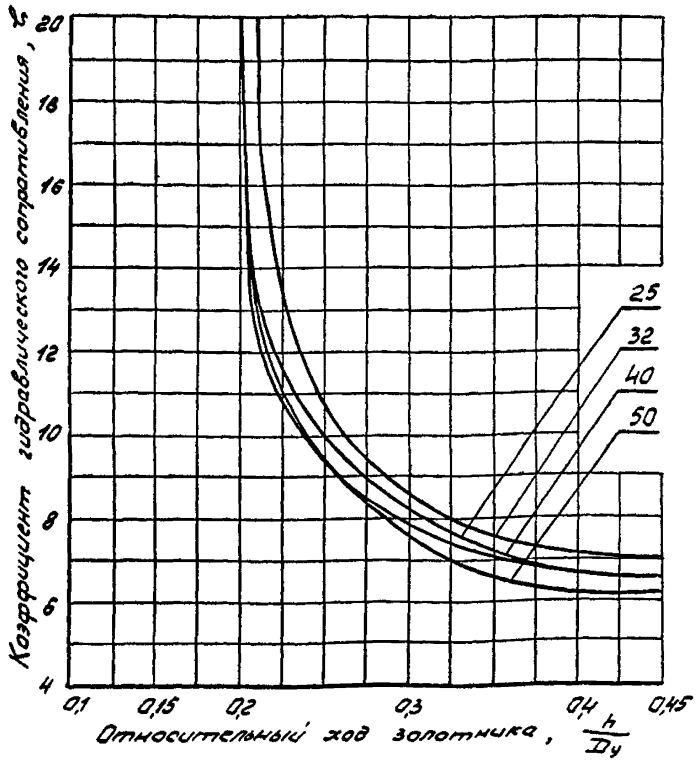

Черт. 1.

52-82 27 04 Ш

График зависимостей коэффициентов гидравлического сопротивления от относительного хода золотника для клапанов в сборе Ду 65, 80, 100

$\zeta = f\left(\frac{h}{Ду}\right)$.

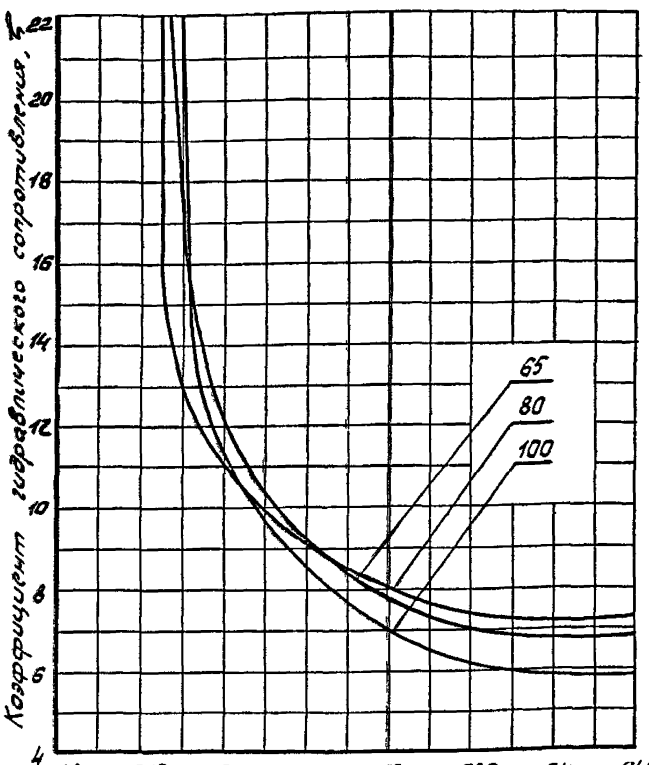

Черт.2.

62-82 27.04.87

График зависимостей коэффициентов гидравлического сопротивления от относительного хода золотника для клапанов в сборе Ду 125, 150, 200

$\zeta = f\left(\frac{h}{Dy}\right)$

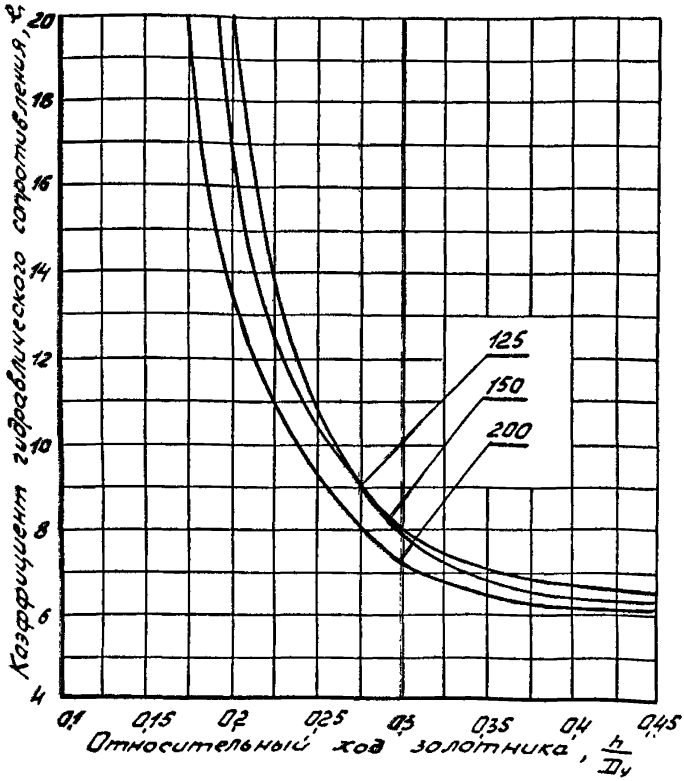

Черт. 3.

ЛИСТ РЕГИСТРАЦИИ ИЗМЕНЕНИЙ

Изм.	Номера листов (страниц)				Номер документа	Подпись	Дата	Срок введения изменения
	измененных	замененных	новых	аннулированных				
1	1; 2				21/3м №1		170887	

gost.e-ecolog.ru